

○ 京都大学工学部 学全員 金川昌義
 京都大学工学部 正員 白石成人
 京都大学工学部 正員 板本 勝

1. はじめ

最近、長大橋梁のハスト不規則応答の問題が、活発に議論されている。しかし、現在では、十分に明らかでない点も多く残っており、そのひとつ、変動風速と変動揚力を関連づけた空力伝達関数の適切な評価が挙げられる。特に、最近、J.D. Holmesの研究⁽¹⁾にも見られるように、逆梯形断面はそのハスト応答特性が大きいことも指摘されている。各種の断面形状についての上記の空力伝達関数の評価が重要と考えられる。このように観点から、本研究では、平板状断面とL2の翼(NACA-0012)、流体力学的にBluffと考えられるH型断面、逆梯形断面、および両者の中間位置すると考えられるトラス断面について、作用気流特性をいっぺん変化させ、変動風速と変動揚力を関連づけた空力伝達関数(本研究では、揚力伝達関数)を実験的に求め、それらと対し(若干の考察を加えた)またこれとを Sears 関数と比較し、各種断面に対するこの関数の適用性を検討した。

2. 模型, 測定装置および気流

- (i) 模型; 図1に示す4種類の2次元部分模型がある。表1に諸元を示す。
- (ii) 測定装置; ロードセルタイプ7のAC3分力天秤(日章電機K.K.製LM-3501-D型)により、直接、静止模型に作用する変動揚力を測定した。
- (iii) 作用気流; 次のような4種類の気流を用いた。
 - a; 可変翼による2次元流に正弦波を発生
 - b; " " " " 不規則波を発生
 - c; 充塞物体(6×30cmの矩形断面)背後のwakeを利用
 - d; 乱流格子による3次元乱流, 乱流格子のメッシュサイズはGrid A (27×43cm), Grid C (14×16cm)

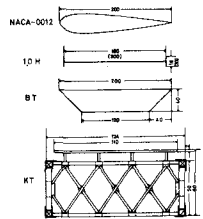


図 1

	Dimension	NACA 0012	10M	BT	KT
Span length	1	0.40	0.50	0.50	0.42
Half chord length	b	0.10	0.08	0.10	0.055
Slope of force coefficient		4.55	10.50	5.29	4.08
Slope of moment coefficient		-0.344	-0.269	0.511	0.950

表 1

3. 揚力伝達関数

揚力伝達関数は、2.(iii)と述べた作用気流に対して次のように求めた。

a に対して、
$$Ad(k) = \frac{L(t)}{2\pi S b U w(t)} \quad (1)$$

b, c に対して、
$$Ad(k) = \left\{ \frac{S_L(k)}{(2\pi S b U)^2 S_w(k)} \right\}^{1/2} \quad (2)$$

d に対して、
$$Ad(k) = \left\{ \frac{S_L(k)}{(2\pi S b U)^2 S_w(k) C(k)} \right\}^{1/2} \quad (3)$$

ただし、L(t); 変動揚力, S; 空気密度, b; 半弦長, U; 平均風速, w(t); 鉛直変動風速, S_L(k), S_w(k); それぞれ、揚力, 鉛直変動風速のパワースペクトル密度, C(k); 揚力をatip部分について評価するためのスパン方向の係数である。C(k)については、A.G. Davenport 氏が与えた以下の指数関数と取りよることができる。

$$C(k) = \int_0^{2b} \int_0^{2b} R(x, x'; k) dx dx' \quad R(x, x'; k) = \exp \left\{ \frac{-|x-x'|}{L(U/w)} \right\} \quad L(U/w); \text{乱流のスケール}$$

4. 実験結果およびその評価

(i) 2次元乱気流 (a, b, c) に対する結果 (図2)

まず、各断面形状の違いによる結果の比較を行なった。翼断面では片方 Sears 関数とこれを静的空力係数勾配で補正した関数の曲線の間にある程度一致を示した。逆梯形断面では大きな目玉があり、H型断面では、表1に示したように、静的空力係数勾配と他の断面と比較して非線形な目玉などがあり、また大きな目玉が表れている。また、トラス断面では、大きな翼断面と似たような逆梯形とH型断面の中間程度にあるが、換算振動数は小さい領域で小さく目玉が傾向があり、他の断面と多少異なり、下傾向を示しているように思われる。

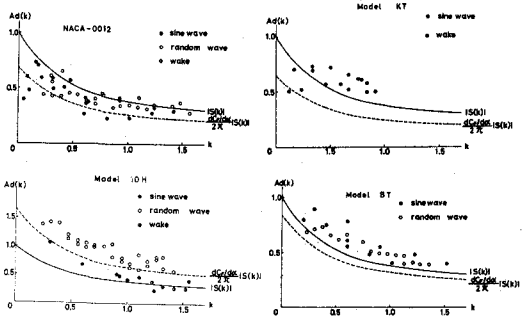


図2 2次元乱気流に対する結果

次に、乱気流による違いの検討を行なった。翼断面と逆梯形断面では正弦波と不規則波の結果の間にあまり差がみられず一致を示している。H型断面では正弦波よりも不規則波の結果が大きくなる傾向がある。

なお、流体力学的に Bluff と考えられるような逆梯形とH型断面では、一様流中で測定した空気の平均パワースペクトル、ストロハル数成分の卓越したピークを認められ、本図中にもその影響がみられるようにも考えられる。しかし、傾向としては、Sears 関数を静的空力係数勾配で補正した関数と片方一致しているように思われる。このことより、比較的低周波帯域での断面形状による違いは、換算振動数の範囲内では、揚力係数とこのような関数を適用する方がよく考えられる。

(ii) 3次元乱気流に対する結果 (図3)

まず、断面の違いによる結果の比較を行なった。トラス断面の方が大きく目玉があるものの、翼断面よりも少し大きくなる。翼断面の結果は、Sears 関数とこれを静的空力係数勾配で補正したものと比較すると一致している。乱気流による違いは、格子サイズの影響が大きい。平均風速が小さい場合の方が大きな目玉が表れているようにあり、なお、図中には、自己相関関数より定義した格子サイズのスケールが表れている。このような乱気流特性の違いによる、揚力伝達係数の結果に差が表れていることとを考慮し、また、低減効果の問題についても、今後検討を加える必要がある。

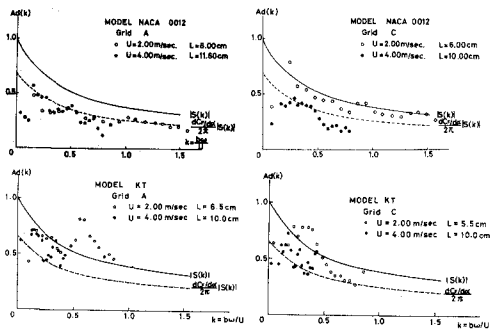


図3 3次元乱気流に対する結果

5. おわりに

以上の結果をまとめると、(1) 断面形状の違いによる、揚力伝達係数の大きさに差が表れ、大きな目玉と比べると、H型、逆梯形、トラス、翼形の各断面で異なる。(2) 乱気流の違いによる、揚力伝達係数に若干の差が表れ、小さくなる。(3) 傾向としては、Sears 関数を静的空力係数勾配で補正したものと説明できるような結果が得られる。(4) 動的揚力係数は、strip 部分で定義され、乱気流の格子サイズによる3次元乱気流に対する評価は、またストロハル数の低減による、一様2次元化が可能な限り、2次元流中の結果と傾向が一致するものと見られる。

参考文献

- (1) J.D. Holmes ; Prediction of the Response of a Cable Stayed Bridge to Turbulence, Proceedings of the Fourth International Conference on Wind Effects on Buildings and Structures.